UNIVERSITÀ
DEGLI STUDI
FIRENZE

Scuola di Scienze Matematiche, Fisiche e Naturali

Corso di Laurea Magistrale in Informatica
Curriculum: *Resilient and secure cyberphysical systems*

Tesi di Laurea Magistrale

TITOLO ITALIANO

TITOLO INGLESE

MARCO BURACCHI

Relatore: Prof. *Michele Boreale*

Anno Accademico 2017-2018

INDICE

ELENCO DELLE FIGURE

ELENCO DELLE TABELLE

"Da campo a campo, nel tetro grembo della notte,
s'avverte appena il brusio di entrambe le armate,
sicché le sentinelle appostate quasi possono udire
i mormorii furtivi delle sentinelle nemiche"
— Enrico V, William Shakespear

INTRODUZIONE

Il mondo moderno è ormai pervaso dalla *crittografia*. Quotidianamente e spesso inconsapevolmente utilizziamo funzioni crittografiche per le normali operazioni della vita quotidiana. Controllare il conto sull'home-banking, scambiarsi messaggi tramite servizi di messaggistica o anche navigare in internet utilizzando il protocollo HTTPS sono azioni che svolgiamo ormai con naturalezza. I sistemi moderni rendono trasparente all'utente l'utilizzo di tali tecnologie ma ciò non vuol dire che esse non esistano.

Una *funzione crittografica* è un oggetto matematico astratto che trasforma con l'utilizzo di una chiave, un dato in input (plaintext) in una sua rappresentazione diversa (ciphertext) il più possibile non riconducibile al dato originale. Questa funzione deve poi essere implementata in un programma che girerà su un *dispositivo crittografico* in un certo ambiente, presentando perciò caratteristiche fisiche peculiari. Esempi di dispositivi crittografici potrebbero essere smartcard, chiavette USB, chip dedicati montati su dispositivi general purpose (smartphone, notebook) o periferiche progettate e costruite apposta per effettuare questo unico compito.

In passato si guardava ad un dispositivo crittografico semplicemente come una black-box che riceveva un plaintext e restituiva un ciphertext (encryption) e viceversa (decryption)figura 1. Gli attacchi erano basati sulla conoscenza del ciphertext (ciphertext-only attacks) o di alcune coppie di entrambi (known plaintext attacks). Con l'accesso al meccanismo di encryption o di decryption, anche solo temporaneo, si possono attuare anche altri due tipi di attacchi (rispettivamente chosen-plaintext e chosen-ciphertext)[1].

Al giorno d'oggi si è consapevoli del fatto che un dispositivo crittografico ha spesso altri input oltre al plaintext e altri output oltre al ciphertext. Gli input differenti dal plaintext possono essere interazioni col mondo esterno come modifiche al voltaggio della corrente, condizioni atmosferiche particolari o sollecitazioni fisiche. Il nostro interesse sarà però focalizzato sulle informazioni (facilmente misurabili) che vengono lasciate trapelare dai dispositivi stessi oltre al ciphertext come ad esempio il tempo di esecuzione di un programma, le radiazioni emesse, suoni,

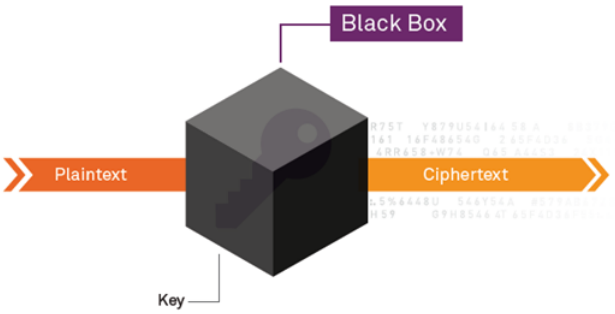

Figura 1: Black-box encryption

luci e quant'altro chiamate *side-channel informations*.

Il resto della tesi è organizzata nel seguente modo. Nel capitolo 1 verrà definita una classificazione dei side-channel attacks e verrà presentata una panoramica dello stato dell'arte. Il capitolo 2 approfondirà i *cache attacks* e in particolar modo quelli basati sul tempo. Nel capitolo 3 verrà presentato approfonditamente l'attacco *SPECTRE* che ha afflitto tutti i recenti processori AMD, ARM e Intel. Nel capitolo 4 verrà infine presentato un attacco che sfrutta i concetti dell'attacco SPECTRE in grado di ottenere dati protetti da password senza conoscere tale informazione.

1

SIDE-CHANNEL ATTACKS

I *side-channel attacks* sono metodi di criptanalisi che sfruttano le side-channels informations insieme ad altre tecniche di analisi per recuperare la chiave utilizzata da un dispositivo crittografico [2].

Nella figura 2 si può vedere una configurazione tipo di side-channel attack. Da una parte c'è il dispositivo che implementa la funzione crittografica e accanto c'è lo strumento utilizzato per rilevare le grandezze fisiche prodotte dal dispositivo attaccato. La cosa fondamentale è che gli attacchi di questo tipo non vanno a colpire direttamente la funzione crittografica ma sfruttano le informazioni fisiche dell'ambiente intorno al dispositivo.

L'analisi di questi metodi ha acquisito notevole interesse dato che questo tipo di attacchi possono essere montati velocemente e molto spesso non richiedono hardware particolare e costoso. Con pochi euro si possono ad esempio acquistare in comuni negozi di bricolage o elettronica apparecchi in grado di analizzare il consumo elettrico di un dispositivo. Con tali apparecchi è possibile montare in pochi secondi un attacco di tipo *Simple Power Analysis*[3] che verrà spiegato più avanti.

Il governo degli USA, nel suo "Orange book"[4] indica dei requisiti di sicurezza per i sistemi operativi. Questo documento introduce i primi standard per l'*information leakage*. Purtroppo la letteratura specializzata è però molto variegata e disomogenea quindi, come prima cosa, cerchiamo di trovare un modo per classificare i vari tipi di attacchi in maniera tale da avere una visione più sistemistica del settore.

1.1 CLASSIFICAZIONE DEGLI ATTACCHI

Le caratteristiche che contraddistinguono ogni singolo attacco sono molteplici e differenti tra loro. In questa sezione si cercherà di raggruppare e definire quelle più importanti ed associabili alla maggior parte degli attacchi.

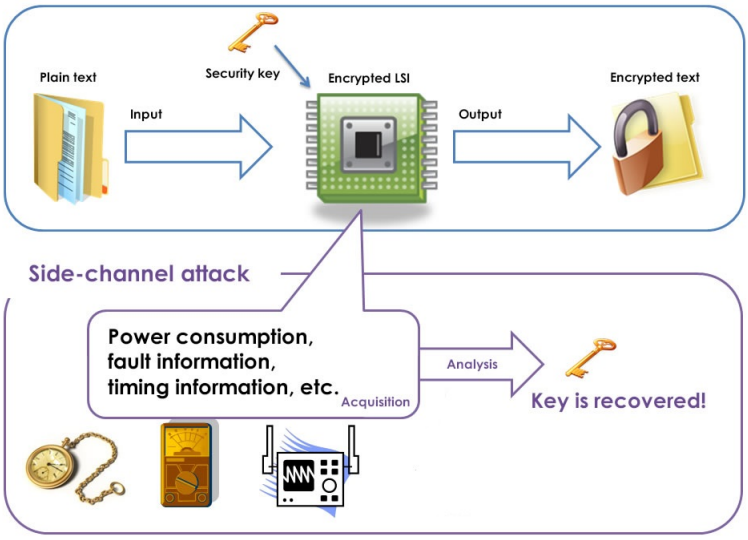

Figura 2: Esempio di side-channel attack

Tipi di canali

Nel lavoro di *Ge, Yarom, Cock e Heiser*[5] vengono fornite alcune definizioni che utilizzeremo nel prosieguo di questa tesi. La prima distinzione che è necessario fare è quella tra side-channel e *covert-channel*. Con i primi ci si riferisce ai canali che lasciano *accidentalmente* filtrare informazioni sensibili (ad esempio una chiave crittografica) in una comunicazione tra due partecipanti fidati. I secondi sono quelli creati e sfruttati dall'attaccante ad esempio tramite l'utilizzo di Trojan e che *deliberatamente* lasciano filtrare le informazioni. In questo lavoro verranno trattati solamente i primi.

L'altra differenza fondamentale per quello che riguarda i canali è quella tra canali di tipo *storage* e canali di tipo *timing*. I canali di tipo storage vengono sfruttati per ottenere qualcosa di direttamente visibile nel sistema (valore dei registri, valore di ritorno di una system call, ecc.). Quelli di tipo timing vengono sfruttati andando ad osservare variazioni del tempo di esecuzione di un programma (o di parti di esso).

Tipi di attacco

Standaert nel suo lavoro [2] utilizza altre due dimensioni interessanti per classificare questi attacchi; l'*invasività* e l'*attività/passività*.

Si definisce invasivo un attacco che richiede un disassemblamento del dispositivo attaccato per avere accesso diretto ai suoi componenti interni (wiretapping o sensori collegati direttamente all'hardware). Un attacco non invasivo, al contrario, sfrutta solamente le informazioni disponibili esternamente (quasi sempre involontarie) come il tempo d'esecuzione o l'energia consumata.

Si definisce attivo un attacco che cerca di interferire con il corretto funzionamento del dispositivo (fault-injection)[6, 7] mentre un attacco passivo si limita ad osservare il comportamento del dispositivo durante il suo lavoro senza disturbarlo.

Grandezza fisica osservata

Una caratteristica principale di questi attacchi è sicuramente la grandezza fisica che viene osservata per montare l'attacco. Teoricamente, qualunque grandezza fisica misurabile può essere sfruttata ma alcune si prestano maggiormente rispetto ad altre.

Il tempo e il consumo energetico sono le più comunemente utilizzate ma non sono di certo le uniche. *Genkin, Shamir e Tromer* nel loro lavoro [8] vanno ad ascoltare i rumori prodotti dal processore. *Ferrigno e Hlavac*[9] osservano la luce (qualche fotone) emessa dai transistor nel passaggio di stato da 0 a 1. *Martinasek, Zeman e Trasy*[10] sfruttano i campi elettromagnetici creati dai chip. *Murdoch*, attraverso le variazioni delle frequenze del clock, ricava informazioni sulla temperatura ambientale e cerca di localizzare geograficamente il dispositivo della vittima.

Questo elenco assolutamente non esaustivo delle tecniche utilizzate può far capire quanto variegato ed eterogeneo (nonché in continua evoluzione) sia questo settore.

Hardware attaccato

Gli attacchi possono essere suddivisi anche in base alla componente hardware che viene attaccata. Anche in questo caso ci sono componenti più attaccati (ed attaccabili) di altri (cache e processori) ma non mancano esempi di attacchi a monitor[11], tastiere[12] o stampanti[13].

Articolo	Grandezza	Componente	Algoritmo	Invasivo	Attivo	Canale	Anno
[8]	Suono	CPU	RSA	No	No	-	2014
[9]	Luce	Transistor	AES	Sì	No	-	2008
[11]	Campo elettromagnetico	Monitor	-	No	No	-	1985
[19]	Tempo	Cache	RSA	No	No	Timing	2018
[6]	-	-	AES	No	Sì	Storage	2004
[3]	Consumo elettrico	Smartcard	AES	No	No	-	2002
[12]	Suono	Tastiere	-	No	No	-	2004
[20]	Tempo	Cache	OpenSSL	No	No	Timing	2018
[10]	Campo elettromagnetico	Chip	AES	No	No	-	2012
[21]	Tempo	Cache	RSA	No	No	Timing	2014
[7]	-	-	AES	No	Sì	Storage	2001
[13]	Suono	Stampanti	-	No	No	-	2010
[22]	Tempo	Cache	AES	No	No	Timing	2016
[23]	Temperatura	Clock	-	No	No	-	2006
[24]	Tempo	Browser	Curve ellittiche	No	No	Timing	2018

Tabella 1: Classificazione dei principali attacchi conosciuti

Algoritmo attaccato

Un'ultima classificazione può essere effettuata andando a discriminare gli attacchi secondo l'algoritmo crittografico attaccato. In questo caso i due maggiori algoritmi attaccati sono senza dubbio Advanced Encryption Standard (AES)[14] ed RSA[15] nelle loro implementazioni più comuni. Altri algoritmi attaccati sono El-Gamal[16] e le curve ellittiche[17, 18]. Nella tabella 1 sono classificati con i criteri sopra definiti i principali attacchi conosciuti.

Passiamo adesso ad una breve panoramica sui maggiori attacchi per ogni tipo di grandezza fisica attaccata. Si ricorda che gli attacchi basati sul tempo, categoria nella quale ricadono la maggior parte degli attacchi eseguiti contro le cache, verranno approfonditi nel prossimo capitolo.

1.2 ATTACCHI BASATI SUL CAMPO ELETTROMAGNETICO

Fin dalla metà del '900, il governo degli Stati Uniti d'America era a conoscenza del fatto che i computer producessero "emanazioni compromettenti" e che queste potessero essere catturate ed utilizzate. I ricercatori dell'esercito dimostrarono che era possibile catturare queste emanazioni a distanza e rivelare le informazioni (classificate) associate. In relazione a questo problema fu attivato il progetto Transient Electromagnetic Pulse

Emanation STandard (TEMPEST).

TEMPEST è uno standard creato dal National Communications Security Committee Directive 4 (NCSCD4) ed i requisiti richiesti alle periferiche TEMPEST-compliant sono specificati nel documento riservato NACSIM5100A. Anche la NATO possiede uno standard di protezione simile chiamato SDIP-27.

Nel suo libro[25], *Peter Wright*, ex ricercatore dei servizi segreti inglesi (MI5), rivela l'origine degli attacchi di tipo TEMPEST su macchine cifranti. I principali enti governativi utilizzano, sui sistemi ritenuti sensibili, speciali protezioni come scudi metallici molto costosi su singoli dispositivi, stanze o interi edifici[26].

Il primo documento pubblico riguardante le minacce alla sicurezza prodotte dalle emanazioni dei computer (primo esempio pubblico di side-channel attack) risale al 1985 ed è opera di *Wim van Eck*[11]. Nel suo lavoro dimostrò come fosse possibile ricostruire l'immagine prodotta da un monitor attraverso l'analisi a distanza del campo elettromagnetico emesso, riproducendola su un altro schermo. La comunità scientifica specializzata nella sicurezza era già a conoscenza di questo fenomeno che veniva però ritenuto di poco interesse perché si pensava che servissero attrezzature molto costose disponibili soltanto per uso militare. Van Eck li smentì ricostruendo l'immagine di un monitor posto a centinaia di metri di distanza usando solamente una televisione modificata con 15 dollari di accessori (al cambio attuale corrisponderebbero a meno di 40 euro).

Nel corso degli anni tali tipi di attacco si sono evoluti andando a colpire schermi piatti[27], chip[10], tastiere[28] e in generale qualunque dispositivo contenente componenti elettronici che quindi produce onde elettromagnetiche.

1.3 ATTACCHI BASATI SUL SUONO

L'analisi di suoni prodotti da dispositivi meccanici, specialmente in campo militare, risalgono a molto indietro quando si riusciva a distinguere un aereo o una nave a seconda del rumore che produceva.

Anche i dispositivi elettronici, in generale, emettono un grande numero di rumori diversi. Se ad esempio pensiamo ad un computer portatile, alcune informazioni banali che possiamo ricavare dai suoni emessi sono ad esempio l'attività dell'Hard Disk che ci suggerisce un utilizzo della memoria oppure l'accendersi di una ventola che ci suggerisce un intenso utilizzo della CPU. Questo tipo di informazioni sono però troppo gene-

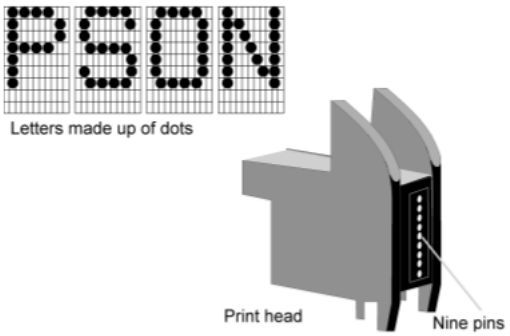

Figura 3: Modalità di stampa di una stampante ad aghi

riche specialmente in un dispositivo general purpose che esegue molti processi diversi parallelamente.

Per approfondire il livello di informazione ricevuto le strade più percorse sono due. Aumentare la sensibilità dell'ascoltatore cercando di trovare differenze tra rumori che sembrano uguali o ascoltare rumori più particolari.

1.3.1 *Differenziazione dei rumori*

Uno degli esempi più importanti di questo tipo di attacco è quello eseguito sulle stampanti a matrice di aghi nel 2010[13]. Il fatto che questo tipo di stampanti sia ormai sparito dall'utilizzo del privato cittadino non deve far pensare ad un attacco anacronistico. Questa scelta è infatti dovuta al fatto che in quell'anno circa il 60% dei medici in Germania e il 30% delle banche utilizzavano ancora quel tipo di stampanti. Alcuni stati europei richiedono per legge l'utilizzo di stampanti a matrici di aghi per la prescrizione di particolari medicine[29].

Come si vede in figura 3, una stampante ad aghi scompone ogni lettera in colonne di punti ed utilizza gli aghi necessari per incidere la traccia corretta sulla carta. Lo studio dimostra come sia possibile addestrare una rete neurale per riconoscere il rumore emesso ad ogni singolo passo che cambia in base a quanti e quali aghi vengono utilizzati. Tale rete neurale riconosce il 72% delle parole stampate senza alcuna ulteriore assunzione ed arriva al 95% se si assume una conoscenza del contesto.

L'idea di base è la stessa utilizzata anche in [12] nel 2004 per riconoscere

i rumori prodotti dai tasti premuti su di una tastiera.

1.3.2 *Cogliere rumori impercettibili*

In questa seconda categoria uno dei principali rappresentati è sicuramente l'attacco[8] del 2014 portato contro il circuito di regolazione del voltaggio dei computer. Tale circuito è composto da bobine e condensatori che vibrano nel tentativo di fornire un voltaggio costante alla CPU.

Eseguire ad esempio RSA con chiavi differenti provoca pattern di esecuzione di operazioni della CPU diversi che portano all'utilizzo di quantità di energia elettrica differente. Il regolatore di voltaggio reagisce di conseguenza causando fluttuazioni di elettricità che provocano vibrazioni meccaniche nei componenti elettronici e queste vibrazioni vengono trasmesse attraverso l'aria come onde sonore. Il riconoscimento di questi pattern differenti permette agli autori di recuperare la chiave RSA utilizzata.

La particolarità interessante di questo attacco è che non richiede un'attrezzatura complessa ed avanzata. Il risultato migliore viene ovviamente ottenuto con un microfono direzionale professionale posizionato ad una distanza di 4 metri dal computer attaccato ma lo stesso risultato viene ottenuto anche con l'utilizzo di un semplice smartphone posto a 30 cm dallo stesso computer.

1.4 ATTACCHI BASATI SULLA LUCE

Le emissioni ottiche sono un'altra possibile fonte di dispersione di informazioni. Alcune, banali, possono ad esempio essere ricavate dalla semplice osservazione dei LED presenti su ogni dispositivo che informano sullo stato del dispositivo stesso. Si può capire ad esempio se un dispositivo è acceso o spento, se sta eseguendo computazioni o è inattivo, se sta recuperando informazioni in memoria o se sta utilizzando la connessione Wi-Fi. Simili informazioni sono tutte facilmente osservabili ma, nella maggior parte dei casi, poco utili.

Per ottenere informazioni più significative occorre dotarsi di strumenti di rilevazione più avanzati e utilizzare metodi più "invasivi".

Ferrigno nel suo lavoro[9] si basa sulla seguente idea; ogni volta che un transistor presente su un circuito integrato cambia il proprio stato (passa da 0 a 1 ad esempio) emette qualche fotone. Grazie all'utilizzo di *Optica*, un dispositivo presente nei laboratori del Centre National

d'Etudes Spatiales (CNES) il cui costo è dell'ordine del milione di euro, si riescono a rilevare questi fotoni e a capire il passaggio di stato del singolo transistor tramite la tecnica chiamata Picosecond Imaging Circuit Analysis (PICA)[30],.

I principali problemi che presenta questo attacco sono il costo dello strumento di rilevazione e l'invasività (bisogna infatti esporre completamente il circuito integrato) ma riesce a captare qualunque informazione si voglia a patto di conoscere il programma che sta girando in quel momento.

Un ulteriore problema è dovuto proprio a questa ultima osservazione insieme alla necessità di sincronizzare Optica con il codice che sta eseguendo il dispositivo. Una soluzione come la randomizzazione delle operazioni utilizzata nei processori moderni rende questo attacco molto più difficile da realizzare.

1.5 ATTACCHI BASATI SUL CONSUMO ELETTRICO

Questo tipo di attacchi si basa sull'analisi del consumo energetico di un dispositivo crittografico mentre esegue una encryption o una decryption. Gli attacchi "classici" di questo tipo sono la Simple Power Analysis (SPA) e la Differential Power Analysis (DPA) entrambe introdotte da *Kocher*[31].

1.5.1 *Simple Power Analysis*

Nella SPA l'attaccante osserva il consumo energetico istantaneo del dispositivo. Questo consumo è direttamente dipendente dalle istruzioni eseguite dal microprocessore. Funzioni complesse come il Data Encryption Standard (DES) o RSA possono essere identificate grazie alla grande differenza di operazioni svolte dal processore nelle varie parti che compongono questi algoritmi.

Visto che la SPA riesce a rivelare la sequenza di istruzioni eseguita, può essere usata per attaccare implementazioni di funzioni crittografiche che richiedono l'esecuzione di precisi path di operazioni a seconda dei dati forniti in input. Le permutazioni di DES come le moltiplicazioni o le esponenziazioni di RSA sono vittime tipiche di questi attacchi.

Se ad esempio prendiamo RSA, le operazioni che esegue ad ogni passo di encryption/decryption possono essere tre (square, reduce e multiply) e dipendono dalla chiave. Questa viene scandita bit a bit e, se l'i-esimo bit è un 1, RSA esegue la sequenza square-reduce-multiply-reduce, altrimenti

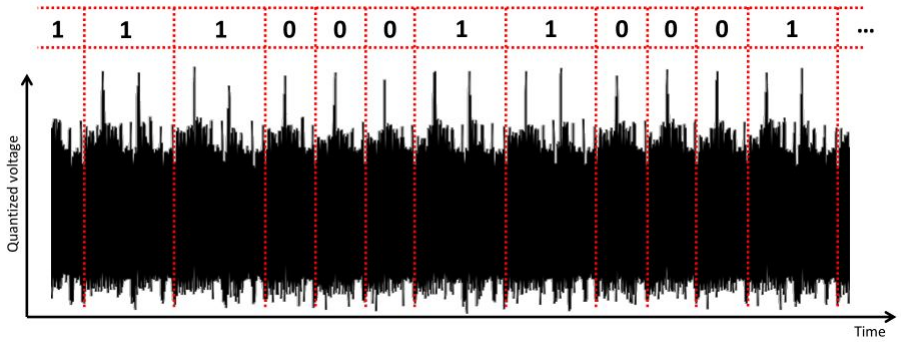

Figura 4: SPA contro RSA

esegue solamente la sequenza square-reduce. É possibile riconoscere questi pattern dall'analisi del consumo energetico come si può vedere in figura 4.

1.5.2 *Differential Power Analysis*

La DPA è un attacco più sofisticato della SPA perché aggiunge all'analisi istantanea del consumo anche un'analisi statistica. Per questo motivo è più potente e più difficile da prevenire (ma è anche più costoso in termini di tempo).

Generalmente un attacco DPA si divide in una fase di raccolta dei dati e in una fase di analisi statistica degli stessi. L'utilizzo di tecniche statistiche elaborate, da una parte "filtra" i dati da possibili sorgenti di rumori e dall'altra può permettere di estrarre informazioni maggiori rispetto alla semplice esecuzione delle singole operazioni.

1.6 ATTACCHI BASATI SULLA TEMPERATURA

Di attacchi basati sulla temperatura se ne parla molto nella letteratura[32, 33, 34] ma la maggior parte delle pubblicazioni sull'argomento menzionano l'esistenza e la possibilità di sfruttare questo canale senza approfondire l'argomento. In particolare in [35] si afferma che attacchi di questo tipo su smart-card sono "never documented in the open literature to the author's knowledge".

L'unica pubblicazione in cui viene effettivamente eseguito un attacco su un algoritmo crittografico basato sulla temperatura è quello di *Brouchier et al.*[32] che dimostra come una ventola di raffreddamento può portare

indirettamente informazioni sui dati processati analizzando la necessità di dissipazione del calore da parte del computer.

Un altro lavoro interessante è quello di *Murdoch*[23] nel quale si sfrutta la seguente idea. Il tempo misurato dal clock di un computer non è costante ma tende a discostarsi dal tempo "reale" (ad esempio quello fornito dal GPS) con un certo tasso che dipende anche dalla temperatura[36]. Attraverso la richiesta di timestamps alla vittima è possibile calcolare questo tasso, capire il relativo carico di lavoro e deanonimizzare la vittima da una rete TOR.

1.7 ATTACCHI FAULT-BASED

Gli attacchi basati sui fault si ottengono modificando maliziosamente la normale esecuzione di un algoritmo crittografico. Tale esecuzione errata può far trapelare informazioni che possono essere utilizzate per recuperare la chiave. In generale gli attacchi fault-based si dividono nelle seguenti quattro categorie[37].

Differential Fault Analysis (DFA)

La DFA è una tecnica nella quale l'attaccante inserisce un errore durante la computazione in un fissato punto spazio-temporale dell'algoritmo e successivamente analizza le differenze tra il ciphertext esatto e quello errato per recuperare la chiave segreta. Tecniche di DFA sono state applicate ai principali algoritmi crittografici, soprattutto su AES-128. Lo stato dell'arte degli attacchi DFA permette di recuperare l'intera chiave a 128 bit di AES con l'inserimento di un singolo fault[38].

Fault Sensitivity Analysis (FSA)

La FSA è stata introdotta da *Li et al.*[39] ed è una tecnica che non utilizza direttamente i ciphertext ottenuti tramite una computazione in presenza di fault. Nel loro lavoro gli autori cercano di trovare delle condizioni critiche che fanno assumere al ciphertext alcune caratteristiche riconoscibili (ad esempio la frequenza di clock al momento dell'esecuzione dell'istruzione difettosa) chiamate *fault sensitivity*. La FSA sfrutta poi le relazioni tra queste caratteristiche e i dati processati per recuperare informazioni segrete dal dispositivo crittografico .

Differential Fault Intensity Analysis (DFIA)

La DFIA è stata introdotta da *Ghalaty et al.*[40] ed è una classe di attacchi che combina tecniche di DPA con tecniche di fault analysis per il recupero di chiavi[41]. Gli autori osservano che la maggior parte dei fault restituiscono byte con un numero di bit errati non sempre uguale (generalmente da 1 a 3) e che questa informazione può essere sfruttata per rivelare la chiave segreta attraverso un test di verifica d'ipotesi. Data la sua natura statistica, la DFIA ha bisogno di un gran numero di modelli di fault ma è comunque una minaccia importante verso molti cifrari a blocchi.

Safe-Error Attacks (SEA) e Differential Behavior Analysis (DBA)

Questa ultima categoria di attacchi mira a dedurre dal comportamento di un dispositivo crittografico se un fault che ha portato ad una computazione scorretta è avvenuto durante una operazione di encryption oppure no[42]. Questa categoria si sta sviluppando nella direzione della Fault Behavior Analysis (FBA) tecnica introdotta da *Li et al.* in [43]. Questi attacchi osservano solamente il comportamento del dispositivo crittografico durante l'iniezione dei fault e non richiedono di conoscere il valore del ciphertext.

1.8 POSSIBILI CONTROMISURE

Le possibili contromisure a questi attacchi sono molteplici e sono sia fisiche che algoritmiche.

Le soluzioni fisiche sono quelle che cercano di evitare il rilascio di informazioni nell'ambiente circostante il dispositivo. Insonorizzazione, schermature e utilizzo di circuiti *dummy* che eseguono istruzioni fasulle per uniformare il consumo elettrico sono tutti esempi di contromisure fisiche sicuramente funzionanti ma che richiedono sforzi di progettazione e aumento dei costi di produzione.

Le soluzioni che stanno andando per la maggiore sono quelle software come ad esempio la randomizzazione dell'input. Se parliamo di RSA possiamo pensare ad esempio di modificare l'esponente o il modulo ad ogni iterazione sommandoci un valore casuale che poi verrà sottratto in maniera opportuna. In questo modo le analisi dirette delle operazioni vengono "mascherate" ed anche le possibilità di correlazioni statistiche vengono (quasi) annullate.

Questo tipo di soluzioni possono risolvere il problema ma richiedono cambiamenti nel design degli algoritmi e dei protocolli che rischiano di rendere il prodotto incompatibile con standard o specifiche pubbliche.

2

TIMING ATTACKS

Come anticipato nel capitolo precedente, approfondiremo adesso la tipologia di attacchi basati sul tempo focalizzandoci maggiormente su quelli che hanno come obiettivo la cache del processore.

L'idea di base che sta sotto i timing attacks è quella che l'esecuzione di un determinato programma, al variare delle operazioni che vengono eseguite e al variare degli input, impiega tempi diversi per portare a termine il proprio compito.

Ad esempio il codice in figura 5 se fatto girare con la stringa ("passwordToBeStolen") impiegherà un tempo maggiore rispetto allo stesso programma fatto girare con la stringa ("foo"). Nel primo caso infatti verrà scansionata tutta la stringa mentre nel secondo caso si interromperà immediatamente. Questa informazione può essere utilizzata dall'attaccante per capire la stringa esatta. Per portare questo concetto al livello che ci interessa vediamo prima delle nozioni fondamentali sulla cache del processore.

2.1 LA CACHE DEL PROCESSORE

Dato che la differenza di velocità tra le memorie e la capacità di calcolo dei processori aumenta sempre di più [44] la banda del bus di comunicazione e la velocità di accesso alla memoria principale sono diventati un fattore limitante sul throughput generale del processore. Questo collo di bottiglia viene attenuato dall'utilizzo delle cache.

La cache è infatti un piccolo banco di memoria molto veloce sito all'interno di ogni core che il processore utilizza per immagazzinare i valori delle celle di memoria accedute più recentemente.

```
int dummyCheckPassword(String pwd){
  String password = "passwordToBeStolen";
  int i = 0;
  if (password.length() != pwd.length()){
    return 0;
  } else {
    while (i < password.length()){
      if (pwd[i].equals(password[i])){
      i++;
      } else {
        return 0;
      }
    }
  }
  return 1;
}
```

Figura 5: Esempio di una funzione attaccabile tramite un timing attack

2.1.1 *Struttura della cache*

I processori moderni hanno generalmente due livelli di cache per ogni core (L1 e L2). Considerando che l'accesso alla memoria principale in media impiega dai 50 ai 150 *ns* mentre l'accesso alla cache L1 utilizza un tempo nell'ordine degli 0.3 *ns* si può capire l'enorme differenza di prestazioni che possono essere raggiunte utilizzando questo tipo di memoria.

Nella figura 6 si può vedere l'architettura del processore quadcore Intel Core i5-3470. La gerarchia delle cache è organizzata in una memoria L1 di 64KB (divisa in 32KB per le istruzioni e 32KB per i dati) ed una memoria L2 da 256KB per ogni core ed un terzo livello chiamato L3 o Last Level Cache (LLC) da 6MB comune a tutti e 4 i core.

Andiamo ad analizzare più nel dettaglio le caratteristiche di una singola cache[5, 21].

Cache lines

Per sfruttare la località spaziale le caches sono divise in lines. Una cache line contiene un blocco di bytes adiacenti (generalmente di dimensione congrua ad una potenza di 2) caricati dalla memoria. Se uno qualunque dei bytes deve essere rimosso (si parla di *evicting*) per far spazio ad un altro dato, tutta la line viene ricaricata.

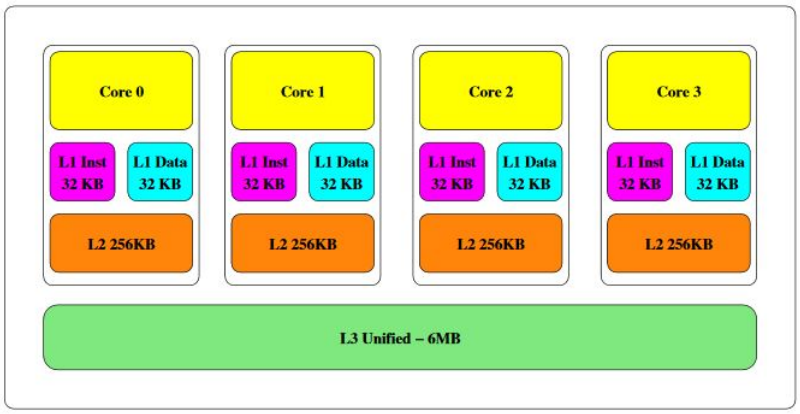

Figura 6: Architettura del processore Intel Core i5-3470

Associatività

Teoricamente una qualunque posizione di memoria può essere mappata in una qualunque cache line ed una cache ad n lines potrebbe contenere n linee qualunque dalla memoria. Questo tipo di cache viene chiamato *fully-associative cache* ed è la migliore in teoria perché può sempre essere usata al massimo delle sue capacità e i cache miss si hanno solamente quando non c'è più spazio libero nella cache. In pratica però questo si traduce in un controllo in parallelo di tutte le linee che aumenta la complessità architetturale e il consumo di energia.

L'estremo opposto è chiamato *direct-mapped cache*. In questo sistema ogni locazione di memoria può stare in una sola cache line, ben determinata da una funzione di indicizzazione. Due locazioni di memoria che mappano sulla stessa cache line non possono essere immagazzinate contemporaneamente e il loading di una comporta inevitabilmente l'evicting dell'altra. Questo potrebbe portare ad avere dei miss anche con la cache semivuota.

Concretamente viene utilizzata una via di mezzo tra queste due soluzioni chiamata *set-associative cache*. La cache viene divisa in *sets* (generalmente di dimensione compresa tra 2 e 24 lines) in cui ogni indirizzo viene controllato in parallelo come in una fully-associative cache. In quale set viene mappato un blocco di memoria viene calcolato come per una direct-mapped cache da una funzione del suo indirizzo. Una cache con n line sets viene chiamata *n-way associative* (figura 7).

Si può notare che le direct-mapped e le fully-associative cache non sono altro che casi particolari di set-associative cache rispettivamente

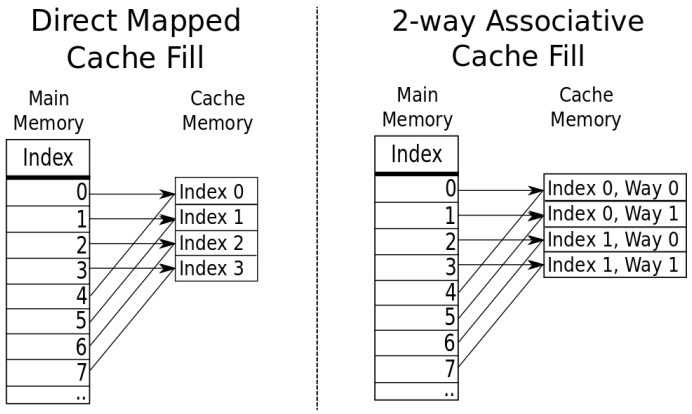

Figura 7: Schemi di associatività della cache.

1-way associative ed N-way associative (dove N è il numero di linee della cache).

Inclusività

Una caratteristica che verrà sfruttata per montare l'attacco è l'*inclusività*.

Ogni livello superiore di cache contiene un sottoinsieme dei dati contenuti dal livello direttamente inferiore. Per mantenere questa caratteristica, quando viene eseguito un evicting di un dato da un livello inferiore, questo viene rimosso anche da tutti i livelli superiori.

2.2 CACHE ATTACKS

Per capire come funzionano la maggior parte degli attacchi alle cache prendiamo in considerazione un array di dati. Quando un elemento di questo array viene acceduto possono verificarsi una di queste due condizioni:

1. Il dato è presente in cache, si verifica una hit e viene recuperato molto velocemente.
2. Il dato non è presente in cache, si verifica una miss e bisogna aspettare che venga recuperato dalla memoria principale.

La differenza tra le due esecuzioni è notevole (diversi ordini di grandezza) ed è questa l'informazione utilizzata nell'attacco.

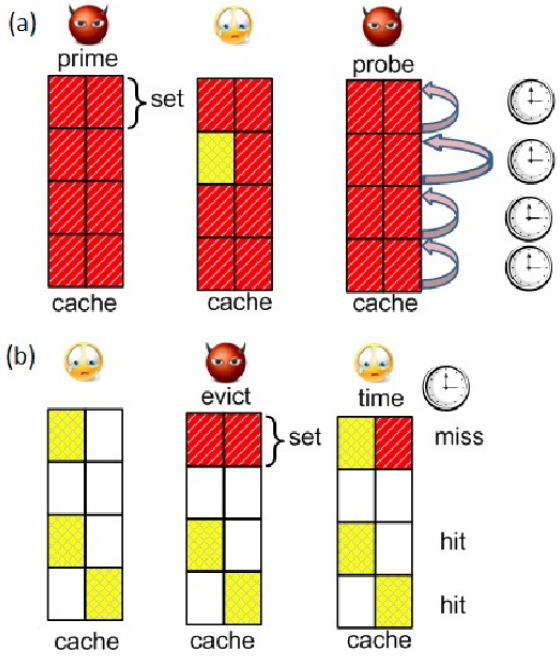

Figura 8: Schema di attacco Prime+Probe (a) e Evict+Time(b)

2.2.1 *Tassonomia*

Una prima classificazione dei cache attacks si basa sullo stato della cache al momento dell'attacco[45].

- *Empty initial state* (reset attacks): questi attacchi si basano sull'assunzione che nessun dato che dovrà essere utilizzato dalla vittima è presente in cache.
- *Forged initial state* (initialization attacks): in questo caso l'attaccante deve essere in grado di portare la cache in uno stato noto prima di poter effettuare l'attacco.
- *Loaded initial state* (micro-architecture attacks): la cache contiene tutti i dati necessari alla vittima per eseguire il programma.

In [22, 5] si classificano gli attacchi in base all'approccio utilizzato:

- *Prime+Probe*[46]: Questo è un attacco di tipo forged initial state. L'attaccante precarica uno o più set della cache con dati propri. Dopo l'esecuzione della funzione vittima prova a riaccedere ad i propri dati. Se la funzione vittima non ha utilizzato lines mappate

nei cache set occupati dall'attaccante, egli otterrà solo cache hit. Al contrario, se c'è stato l'evict di qualche line allora capirà quale ha utilizzato la vittima. Lo schema di questo attacco e del seguente è visibile in figura 8.

- *Evict+Time*[46]: Questo attacco è di tipo loaded initial state e suppone che tutti i dati che servono alla vittima siano già in cache. Questa condizione può essere ottenuta facendo eseguire una prima volta la funzione vittima. Con questa base, l'attaccante fa eseguire la funzione alla vittima calcolandone il tempo di esecuzione. Successivamente esegue una evict di un cache set caricando dati propri e fa eseguire nuovamente la funzione vittima. Se il tempo di questa ultima esecuzione è maggiore del precedente vuol dire che la funzione ha cercato di utilizzare il dato che è stato rimosso dalla cache ed ha dovuto aspettare di recuperarlo dalla memoria principale.

- *Flush+Reload*[21]: Questo attacco è una variante di Prime+Probe. L'attacco si divide in tre fasi. Nella prima fase l'attaccante esegue l'evict della linea a cui è interessato utilizzando l'istruzione *clflush* che invalida il dato su tutti i livelli della cache. Nella seconda fase aspetta che la vittima esegua la propria funzione. Nella terza fase l'attaccante ricarica la linea che aveva rimosso. Se la risposta è veloce vuol dire che la vittima l'ha portata in cache durante l'esecuzione della sua funzione.

- *Evict+Reload*[47]: Una variante del Flush+Reload che utilizza la eviction al posto dell'istruzione di flush.

- *Flush+Flush*[48]: Diversamente da tutti i precedenti approcci, in questo caso non si esegue nessun accesso alla memoria ma l'attaccante si basa solamente sul tempo impiegato dall'istruzione *clflush*. In [22] si fa vedere come l'esecuzione di questa funzione abbia tempi differenti se chiamata su un indirizzo presente in cache o meno.

2.3 CONTROMISURE POSSIBILI

Le difese da questo tipo di attacchi sono sia software che hardware e si dividono in 5 grandi famiglie[5]

TECNICHE A TEMPO COSTANTE: L'idea di base è quella di rendere il comportamento del codice che esegue operazioni critiche indipen-

dente dai dati. Per esempio cercare di rendere una funzione crittografica indipendente sia dalla chiave che dall'input. Questo può essere ottenuto facendo eseguire istruzioni inutili per uniformare il tempo di esecuzione o accedendo a dati casuali dalla memoria per confondere l'attaccante sull'utilizzo della cache. Queste soluzioni ovviamente portano ad una drastica perdita di prestazioni. Il tempo di esecuzione dovrà infatti tendere al tempo di esecuzione massimo ogni volta che sarà necessario richiamare la funzione.

INSERIMENTO DI RUMORE: Questa famiglia di contromisure tende a rendere inutilizzabili le misure ottenute dall'attaccante inserendo in ogni evento osservabile da qualsiasi processo una quantità di rumore tale da renderne impossibile una qualunque analisi[49].

IMPORRE DETERMINISMO: In questo caso si cerca di eliminare qualsiasi tipo di misura sul tempo eliminando completamente le variazioni di tempo visibile. Ad esempio in [50] si propone di eliminare completamente l'accesso al tempo reale fornendo all'esterno solamente un clock virtuale il cui avanzamento è completamente deterministico e indipendente dalle azioni di componenti vulnerabili. Per ottenere questo risultato si cerca di sincronizzare tutti i clock con l'esecuzione di un singolo processo, indipendente da input o azioni esterne, che esegue in tempo costante.

SUDDIVIDERE IL TEMPO: In questo caso si cerca di suddividere il tempo in sezioni nelle quali si fornisce un accesso esclusivo all'hardware condiviso. Ci sono diverse tecniche per ottenere questo risultato uno dei quali è la cancellazione completa della cache ad ogni context switch(*cache flushing*). Questo ovviamente porta ad una perdita in prestazioni molto grande e si è passati al *lattice scheduling* che esegue il flushing della cache non ad ogni context switch ma solo nel passaggio da processi sensibili a processi inaffidabili. Un'altra soluzione mira a sfruttare la necessità di analizzare molto spesso lo stato della cache della vittima che hanno attacchi di tipo Prime+Probe ad esempio. Questa necessità non viene alimentata imponendo un tempo minimo di esecuzione per le componenti vulnerabili entro il quale non possono essere prelazionate.

SUDDIVIDERE LE RISORSE HARDWARE: Attacchi eseguiti da processi concorrenti possono essere evitati solamente suddividendo adeguatamente le risorse hardware tra i vari processi. Per quanto riguarda la cache sono state avanzate varie proposte. Percival[51] suggerisce

di suddividere la cache L1 tra i vari processi in modo tale da non permettere ad un processo di accedere o rimuovere lines utilizzate da un altro. Wang and Lee[52] propongono invece la *partition-locked cache*, un meccanismo hardware che permette di assegnare dei lock ad alcune lines contenenti dati particolarmente sensibili in maniera tale da non poter essere rimosse.

3

SPECTRE ATTACKS

In questo capitolo verrà presentato *SPECTRE*[19], un tipo di attacco molto recente che sfrutta una vulnerabilità presente nella maggior parte dei processori moderni (Intel, AMD e ARM) e per il quale, al momento, non esistono contromisure.

La vulnerabilità che viene sfruttata da questo tipo di attacco è la cosiddetta *esecuzione speculativa*.

3.1 ESECUZIONE SPECULATIVA

L'esecuzione speculativa è una tecnica utilizzata dai processori per migliorare le prestazioni che consiste nel cercare di "indovinare" il risultato di un branch per eseguire preventivamente alcune istruzioni.

Supponiamo ad esempio che l'esecuzione del programma dipenda da un controllo su di un valore non presente in cache che quindi deve essere recuperato dalla memoria principale. Questo può portare ad un attesa di svariate centinaia di cicli clock prima che questo valore sia disponibile. Invece di aspettare tutto questo tempo inutilmente, il processore cerca di indovinare il risultato del controllo, salva lo stato attuale dei suoi registri, e procede ad eseguire speculativamente il ramo del branch che ritiene più plausibile. Quando poi arriverà il valore effettivo dalla memoria, il controllo verrà effettivamente effettuato. Se il risultato è quello aspettato, si procede con la computazione e saranno stati risparmiati tutti quei cicli di clock che sarebbero stati persi nell'attesa. Se la scelta si rivela sbagliata, il processore scarta tutti i risultati dell'esecuzione speculativa, si riporta allo stato che si era salvato precedentemente ed esegue l'altro ramo del branch.

Questa ottimizzazione sembra perfetta in quanto in caso di successo, si risparmiano molti cicli di clock mentre in caso di insuccesso il risultato è paragonabile a quello che avremmo ottenuto aspettando il dato senza eseguire alcuna istruzione.

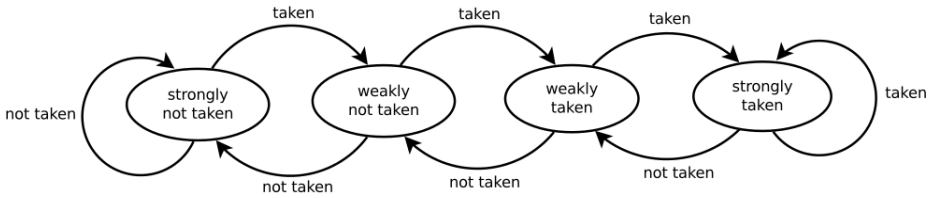

Figura 9: Automa di predizione di un one-level branch predictor a 2 bit

Il responsabile di questa scelta è una piccola unità all'interno del processore chiamata Branch Predictor (BP).

3.1.1 *Branch predictor*

Esistono svariati tipi di branch predictor; andiamo a vedere come funziona uno dei più semplici, il *one-level branch predictor* a 2 bit.

Come da schema in figura 9 un one-level branch predictor può essere descritto con un semplice automa a 4 stati.

4

PROOF OF CONCEPT

Lorem ipsum dolor sit amet, consectetuer adipiscing elit. Ut purus elit, vestibulum ut, placerat ac, adipiscing vitae, felis. Curabitur dictum gravida mauris. Nam arcu libero, nonummy eget, consectetuer id, vulputate a, magna. Donec vehicula augue eu neque. Pellentesque habitant morbi tristique senectus et netus et malesuada fames ac turpis egestas. Mauris ut leo. Cras viverra metus rhoncus sem. Nulla et lectus vestibulum urna fringilla ultrices. Phasellus eu tellus sit amet tortor gravida placerat. Integer sapien est, iaculis in, pretium quis, viverra ac, nunc. Praesent eget sem vel leo ultrices bibendum. Aenean faucibus. Morbi dolor nulla, malesuada eu, pulvinar at, mollis ac, nulla. Curabitur auctor semper nulla. Donec varius orci eget risus. Duis nibh mi, congue eu, accumsan eleifend, sagittis quis, diam. Duis eget orci sit amet orci dignissim rutrum.

Nam dui ligula, fringilla a, euismod sodales, sollicitudin vel, wisi. Morbi auctor lorem non justo. Nam lacus libero, pretium at, lobortis vitae, ultricies et, tellus. Donec aliquet, tortor sed accumsan bibendum, erat ligula aliquet magna, vitae ornare odio metus a mi. Morbi ac orci et nisl hendrerit mollis. Suspendisse ut massa. Cras nec ante. Pellentesque a nulla. Cum sociis natoque penatibus et magnis dis parturient montes, nascetur ridiculus mus. Aliquam tincidunt urna. Nulla ullamcorper vestibulum turpis. Pellentesque cursus luctus mauris.

Nulla malesuada porttitor diam. Donec felis erat, congue non, volutpat at, tincidunt tristique, libero. Vivamus viverra fermentum felis. Donec nonummy pellentesque ante. Phasellus adipiscing semper elit. Proin fermentum massa ac quam. Sed diam turpis, molestie vitae, placerat a, molestie nec, leo. Maecenas lacinia. Nam ipsum ligula, eleifend at, accumsan nec, suscipit a, ipsum. Morbi blandit ligula feugiat magna. Nunc eleifend consequat lorem. Sed lacinia nulla vitae enim. Pellentesque tincidunt purus vel magna. Integer non enim. Praesent euismod nunc eu purus. Donec bibendum quam in tellus. Nullam cursus pulvinar lectus. Donec et mi. Nam vulputate metus eu enim. Vestibulum pellentesque

felis eu massa.

Quisque ullamcorper placerat ipsum. Cras nibh. Morbi vel justo vitae lacus tincidunt ultrices. Lorem ipsum dolor sit amet, consectetuer adipiscing elit. In hac habitasse platea dictumst. Integer tempus convallis augue. Etiam facilisis. Nunc elementum fermentum wisi. Aenean placerat. Ut imperdiet, enim sed gravida sollicitudin, felis odio placerat quam, ac pulvinar elit purus eget enim. Nunc vitae tortor. Proin tempus nibh sit amet nisl. Vivamus quis tortor vitae risus porta vehicula.

Fusce mauris. Vestibulum luctus nibh at lectus. Sed bibendum, nulla a faucibus semper, leo velit ultricies tellus, ac venenatis arcu wisi vel nisl. Vestibulum diam. Aliquam pellentesque, augue quis sagittis posuere, turpis lacus congue quam, in hendrerit risus eros eget felis. Maecenas eget erat in sapien mattis porttitor. Vestibulum porttitor. Nulla facilisi. Sed a turpis eu lacus commodo facilisis. Morbi fringilla, wisi in dignissim interdum, justo lectus sagittis dui, et vehicula libero dui cursus dui. Mauris tempor ligula sed lacus. Duis cursus enim ut augue. Cras ac magna. Cras nulla. Nulla egestas. Curabitur a leo. Quisque egestas wisi eget nunc. Nam feugiat lacus vel est. Curabitur consectetuer.

Suspendisse vel felis. Ut lorem lorem, interdum eu, tincidunt sit amet, laoreet vitae, arcu. Aenean faucibus pede eu ante. Praesent enim elit, rutrum at, molestie non, nonummy vel, nisl. Ut lectus eros, malesuada sit amet, fermentum eu, sodales cursus, magna. Donec eu purus. Quisque vehicula, urna sed ultricies auctor, pede lorem egestas dui, et convallis elit erat sed nulla. Donec luctus. Curabitur et nunc. Aliquam dolor odio, commodo pretium, ultricies non, pharetra in, velit. Integer arcu est, nonummy in, fermentum faucibus, egestas vel, odio.

Sed commodo posuere pede. Mauris ut est. Ut quis purus. Sed ac odio. Sed vehicula hendrerit sem. Duis non odio. Morbi ut dui. Sed accumsan risus eget odio. In hac habitasse platea dictumst. Pellentesque non elit. Fusce sed justo eu urna porta tincidunt. Mauris felis odio, sollicitudin sed, volutpat a, ornare ac, erat. Morbi quis dolor. Donec pellentesque, erat ac sagittis semper, nunc dui lobortis purus, quis congue purus metus ultricies tellus. Proin et quam. Class aptent taciti sociosqu ad litora torquent per conubia nostra, per inceptos hymenaeos. Praesent sapien turpis, fermentum vel, eleifend faucibus, vehicula eu, lacus.

BIBLIOGRAFIA

[1] Michele Boreale. *Note per il corso di CODICI E SICUREZZA*. 2013. (Cited on page 5.)

[2] François-Xavier Standaert. Introduction to side-channel attacks. In *Secure Integrated Circuits and Systems*, pages 27–42. Springer, 2010. (Cited on pages 7 and 8.)

[3] Stefan Mangard. A simple power-analysis (spa) attack on implementations of the aes key expansion. In *International Conference on Information Security and Cryptology*, pages 343–358. Springer, 2002. (Cited on pages 7 and 10.)

[4] Donald C Latham. Department of defense trusted computer system evaluation criteria. *Department of Defense*, 1986. (Cited on page 7.)

[5] Qian Ge, Yuval Yarom, David Cock, and Gernot Heiser. A survey of microarchitectural timing attacks and countermeasures on contemporary hardware. *Journal of Cryptographic Engineering*, pages 1–27, 2016. (Cited on pages 8, 20, 23, and 24.)

[6] Christophe Giraud. Dfa on aes. In *International Conference on Advanced Encryption Standard*, pages 27–41. Springer, 2004. (Cited on pages 9 and 10.)

[7] Ramesh Karri, Kaijie Wu, Piyush Mishra, and Yongkook Kim. Fault-based side-channel cryptanalysis tolerant rijndael symmetric block cipher architecture. In *Defect and Fault Tolerance in VLSI Systems, 2001. Proceedings. 2001 IEEE International Symposium on*, pages 427–435. IEEE, 2001. (Cited on pages 9 and 10.)

[8] Daniel Genkin, Adi Shamir, and Eran Tromer. Rsa key extraction via low-bandwidth acoustic cryptanalysis. In *International Cryptology Conference*, pages 444–461. Springer, 2014. (Cited on pages 9, 10, and 13.)

[9] Julie Ferrigno and M Hlaváč. When aes blinks: introducing optical side channel. *IET Information Security*, 2(3):94–98, 2008. (Cited on pages 9, 10, and 13.)

[10] Zdenek Martinasek, Vaclav Zeman, and Krisztina Trasy. Simple electromagnetic analysis in cryptography. *International Journal of Advances in Telecommunications, Electrotechnics, Signals and Systems*, 1(1):13–19, 2012. (Cited on pages 9, 10, and 11.)

[11] Wim Van Eck. Electromagnetic radiation from video display units: An eavesdropping risk? *Computers & Security*, 4(4):269–286, 1985. (Cited on pages 9, 10, and 11.)

[12] Dmitri Asonov and Rakesh Agrawal. Keyboard acoustic emanations. In *Security and Privacy, 2004. Proceedings. 2004 IEEE Symposium on*, pages 3–11. IEEE, 2004. (Cited on pages 9, 10, and 12.)

[13] Michael Backes, Markus Dürmuth, Sebastian Gerling, Manfred Pinkal, and Caroline Sporleder. Acoustic side-channel attacks on printers. In *USENIX Security symposium*, pages 307–322, 2010. (Cited on pages 9, 10, and 12.)

[14] NIST-FIPS Standard. Announcing the advanced encryption standard (aes). *Federal Information Processing Standards Publication*, 197:1–51, 2001. (Cited on page 10.)

[15] Ronald L Rivest, Adi Shamir, and Leonard Adleman. A method for obtaining digital signatures and public-key cryptosystems. *Communications of the ACM*, 21(2):120–126, 1978. (Cited on page 10.)

[16] Taher ElGamal. A public key cryptosystem and a signature scheme based on discrete logarithms. *IEEE transactions on information theory*, 31(4):469–472, 1985. (Cited on page 10.)

[17] Neal Koblitz. Elliptic curve cryptosystems. *Mathematics of computation*, 48(177):203–209, 1987. (Cited on page 10.)

[18] Victor S Miller. Use of elliptic curves in cryptography. In *Conference on the theory and application of cryptographic techniques*, pages 417–426. Springer, 1985. (Cited on page 10.)

[19] Paul Kocher, Daniel Genkin, Daniel Gruss, Werner Haas, Mike Hamburg, Moritz Lipp, Stefan Mangard, Thomas Prescher, Michael Schwarz, and Yuval Yarom. Spectre attacks: Exploiting speculative execution. *arXiv preprint arXiv:18o1.o1203*, 2018. (Cited on pages 10 and 27.)

[20] Ping Zhou, Tao Wang, Xiaoxuan Lou, Xinjie Zhao, Fan Zhang, and Shize Guo. Efficient flush-reload cache attack on scalar multiplication based signature algorithm. *Science China Information Sciences*, 61(3):039102, 2018. (Cited on page 10.)

[21] Yuval Yarom and Katrina Falkner. Flush+reload: A high resolution, low noise, l3 cache side-channel attack. In *USENIX Security Symposium*, pages 719–732, 2014. (Cited on pages 10, 20, and 24.)

[22] Moritz Lipp, Daniel Gruss, Raphael Spreitzer, Clémentine Maurice, and Stefan Mangard. Armageddon: Cache attacks on mobile devices. In *USENIX Security Symposium*, pages 549–564, 2016. (Cited on pages 10, 23, and 24.)

[23] Steven J Murdoch. Hot or not: Revealing hidden services by their clock skew. In *Proceedings of the 13th ACM conference on Computer and communications security*, pages 27–36. ACM, 2006. (Cited on pages 10 and 16.)

[24] Daniel Genkin, Lev Pachmanov, Eran Tromer, and Yuval Yarom. Drive-by key-extraction cache attacks from portable code. 2018. (Cited on page 10.)

[25] Peter Wright. *Spycatcher*. 1987. (Cited on page 11.)

[26] RL Herndon. Electromagnetic pulse (emp) and tempest protection for facilities. *DC: Army Corps of Engineers Publication Department*, 1990. (Cited on page 11.)

[27] Markus G Kuhn. Eavesdropping attacks on computer displays. *Information Security Summit*, pages 24–25, 2006. (Cited on page 11.)

[28] Martin Vuagnoux and Sylvain Pasini. Compromising electromagnetic emanations of wired and wireless keyboards. In *USENIX security symposium*, pages 1–16, 2009. (Cited on page 11.)

[29] Günther Bernatzky, Reinhard Sittl, and Rudolf Likar. *Schmerzbehandlung in der Palliativmedizin*. Springer-Verlag, 2011. (Cited on page 12.)

[30] James C Tsang, Jeffrey A Kash, and David P Vallett. Picosecond imaging circuit analysis. *IBM Journal of Research and Development*, 44(4):583–603, 2000. (Cited on page 14.)

[31] Paul Kocher, Joshua Jaffe, Benjamin Jun, and Pankaj Rohatgi. Introduction to differential power analysis. *Journal of Cryptographic Engineering*, 1(1):5–27, 2011. (Cited on page 14.)

[32] Julien Brouchier, Tom Kean, Carol Marsh, and David Naccache. Temperature attacks. *IEEE Security & Privacy*, 7(2):79–82, 2009. (Cited on page 15.)

[33] Julien Brouchier, Nora Dabbous, Tom Kean, Carol Marsh, and David Naccache. Thermocommunication. *IACR Cryptology ePrint Archive*, 2009:2, 2009. (Cited on page 15.)

[34] Sergei Skorobogatov. Low temperature data remanence in static ram. Technical report, University of Cambridge, Computer Laboratory, 2002. (Cited on page 15.)

[35] Hagai Bar-El, Hamid Choukri, David Naccache, Michael Tunstall, and Claire Whelan. The sorcerer's apprentice guide to fault attacks. *Proceedings of the IEEE*, 94(2):370–382, 2006. (Cited on page 15.)

[36] Buracchi Marco. Progettazione ed implementazione di un master clock sicuro ed affidabile per cyberphysical systems of systems. unpublished thesis, 2015. (Cited on page 16.)

[37] Sikhar Patranabis and Debdeep Mukhopadhyay. Fault tolerant architectures for cryptography and hardware security, 2018. (Cited on page 16.)

[38] Michael Tunstall, Debdeep Mukhopadhyay, and Subidh Ali. Differential fault analysis of the advanced encryption standard using a single fault. In *IFIP International Workshop on Information Security Theory and Practices*, pages 224–233. Springer, 2011. (Cited on page 16.)

[39] Yang Li, Kazuo Sakiyama, Shigeto Gomisawa, Toshinori Fukunaga, Junko Takahashi, and Kazuo Ohta. Fault sensitivity analysis. In *International Workshop on Cryptographic Hardware and Embedded Systems*, pages 320–334. Springer, 2010. (Cited on page 16.)

[40] Nahid Farhady Ghalaty, Bilgiday Yuce, Mostafa Taha, and Patrick Schaumont. Differential fault intensity analysis. In *Fault Diagnosis and Tolerance in Cryptography (FDTC), 2014 Workshop on*, pages 49–58. IEEE, 2014. (Cited on page 17.)

[41] Thomas Fuhr, Eliane Jaulmes, Victor Lomné, and Adrian Thillard. Fault attacks on aes with faulty ciphertexts only. In *Fault Diagnosis and Tolerance in Cryptography (FDTC), 2013 Workshop on*, pages 108–118. IEEE, 2013. (Cited on page 17.)

[42] Bruno Robisson and Pascal Manet. Differential behavioral analysis. In *International Workshop on Cryptographic Hardware and Embedded Systems*, pages 413–426. Springer, 2007. (Cited on page 17.)

[43] Yang Li, Yu-Ichi Hayashi, Arisa Matsubara, Naofumi Homma, Takafumi Aoki, Kazuo Ohta, and Kazuo Sakiyama. Yet another fault-based leakage in non-uniform faulty ciphertexts. In *Foundations and Practice of Security*, pages 272–287. Springer, 2014. (Cited on page 17.)

[44] John L Hennessy and David A Patterson. *Computer architecture: a quantitative approach*. Elsevier, 2011. (Cited on page 19.)

[45] Anne Canteaut, Cedric Lauradoux, and Andre Seznec. *Understanding cache attacks*. PhD thesis, INRIA, 2006. (Cited on page 23.)

[46] Dag Arne Osvik, Adi Shamir, and Eran Tromer. Cache attacks and countermeasures: the case of aes. In *Cryptographers' Track at the RSA Conference*, pages 1–20. Springer, 2006. (Cited on pages 23 and 24.)

[47] Daniel Gruss, Raphael Spreitzer, and Stefan Mangard. Cache template attacks: Automating attacks on inclusive last-level caches. In *USENIX Security Symposium*, pages 897–912, 2015. (Cited on page 24.)

[48] Daniel Gruss, Clémentine Maurice, Klaus Wagner, and Stefan Mangard. Flush+ flush: a fast and stealthy cache attack. In *International Conference on Detection of Intrusions and Malware, and Vulnerability Assessment*, pages 279–299. Springer, 2016. (Cited on page 24.)

[49] Wei-Ming Hu. Reducing timing channels with fuzzy time. *Journal of computer security*, 1(3-4):233–254, 1992. (Cited on page 25.)

[50] Amittai Aviram, Shu-Chun Weng, Sen Hu, and Bryan Ford. Efficient system-enforced deterministic parallelism. *Communications of the ACM*, 55(5):111–119, 2012. (Cited on page 25.)

[51] Colin Percival. Cache missing for fun and profit, 2005. (Cited on page 25.)

[52] Zhenghong Wang and Ruby B Lee. New cache designs for thwarting software cache-based side channel attacks. In *ACM SIGARCH Computer Architecture News*, volume 35, pages 494–505. ACM, 2007. (Cited on page 26.)

ACRONIMI

AES Advanced Encryption Standard

BP Branch Predictor

CNES Centre National d'Etudes Spatiales

DBA Differential Behavior Analysis

DES Data Encryption Standard

DFA Differential Fault Analysis

DFIA Differential Fault Intensity Analysis

DPA Differential Power Analysis

FBA Fault Behavior Analysis

FSA Fault Sensitivity Analysis

GPS Global Positioning System

HTTPS HyperText Transfer Protocol over Secure Socket Layer

LED Light Emitting Diode

LLC Last Level Cache

NATO North Atlantic Treaty Organization

NCSCD4 National Communications Security Committee Directive 4

PICA Picosecond Imaging Circuit Analysis

QIF Quantitative Information-flow Analysis

SEA Safe-Error Attacks

SPA Simple Power Analysis

TEMPEST Transient Electromagnetic Pulse Emanation STandard

TOR The Onion Router

USB Universal Serial Bus

INDICE ANALITICO